

# Temat 6: reakcja Bielewska-Żabotyńskiego

Jakub Sawicki

19 października 2015

## 1 Reakcja Bielewska-Żabotyńskiego

Jest to automat komórkowy, w którym komórki mogą znajdować się w następujących stanach:

- *Stan zdrowy* — 0: nowy stan to  $a/k_1 + b/k_2$ , gdzie  $a$  to ilość zarażonych komórek wśród 8 sąsiadów a  $b$  to ilość chorych sąsiednich komórek.
- *Stan chory* —  $q$ : w następnym kroku zdrowieje, tzn. jej stan to 0.
- *Stan zarażony* — 1 do  $q-1$ : nowy stan to  $s/(a+b+1) + g$ , gdzie  $s$  jest sumą stanów komórki i sąsiadów, pozostałe oznaczenia jak dla komórki zdrowej.

Wartości  $k_1$ ,  $k_2$ ,  $q$  oraz  $g$  są stałe. Występujące operacje dzielenia wykonywane są w przestrzeni liczb całkowitych.

Na potrzeby symulacji ustawione zostały wartości  $k_1 = 2$ ,  $k_2 = 3$ ,  $q = 10$  oraz  $g = 3$ . [2]

## 2 Analiza PCAM

Analiza rozbita została na bloki: partition, communication, agglomeration oraz mapping. [1]

### 2.1 Podział

Komórki automatu umieszczone są w dwuwymiarowej siatce, z czego każda komórka pamięta swój stan i jest w stanie przejść do następnego stanu bazując na stanie komórek sąsiednich. Podstawowym zadaniem będzie więc taka komórka.

Zakładając, że siatka jest kwadratowa mamy  $n^2$  takich zadań. Każde zadanie przechowuje dane w postaci jednej liczby naturalnej  $O(1)$  i ma stały czas wykonania  $O(1)$  (przy zaniedbaniu komunikacji).

### 2.2 Komunikacja

Wymiana komunikatów następować musi pomiędzy sąsiednimi komórkami. Każda komórka musi dowiedzieć się o stanie swoich 8 sąsiadów.

Daje nam to w sumie  $8n^2$  komunikatów o wielkości 1 (umownie) do wysłania na krok czasowy.

## 2.3 Aglomeracja

Optymalnym pod względem redukcji komunikacji jest podział kolumnowy.

```
1122334455
1122334455
1122334455
...
1122334455
```

Komunikacja zachodzi w tym przypadku jedynie pomiędzy sąsiednimi kolumnami. Daje to redukcję w ilości komunikatów do  $2t$ , gdzie  $t$  jest ilością bloków. Każdy komunikat jest też w tym przypadku większy, ma rozmiar  $n$ .

## 2.4 Mapowanie

W zależności od tego ile jest dostępnych procesorów/wątków, na tyle bloków można podzielić siatkę. Dzięki temu obliczenia dla poszczególnych bloków nie będą sobie wchodzić w drogę. Warto też zadbać o lokalność komunikacji umieszczając sąsiednie bloki na fizycznie bliskich procesorach.

## 3 Implementacja

Kod programu znajduje się pod [github.com/jswk/AR/lab1/CA.c](https://github.com/jswk/AR/lab1/CA.c). Został on napisany w C z wykorzystaniem MPI do komunikacji.

Ustawienie stałej DEBUG pozwala wypisywać stan symulacji na standardowe wyjście. Na podstawie pliku wyjścia za pomocą skryptu `process.sh` możliwe jest wygenerowanie wizualizacji procesu.

Struktury wygenerowane przez program widoczne są na Rys. 1.

## 4 Wydajność

Program uruchomiony został na klastrze Zeus. Pomiary obejmowały różne ilości aktywnych procesorów, od 1 do 24 (dwa node'y po 12 rdzeni).

Przeprowadzone zostało kilka pomiarów. Pierwszy dla wielkości problemu  $n = 200$ . Następnie dla  $n = 1000$  oraz dla skalowanego problemu (ok.  $10^6$  komórek na procesor).

Wyniki dla  $n = 200$  przedstawione zostały na Rys. 2. Problem ten był zbyt mały dla ilości procesorów większej niż 5–6. Dla większych ilości procesorów narzut komunikacyjny prowadził do zmniejszenia efektywności.

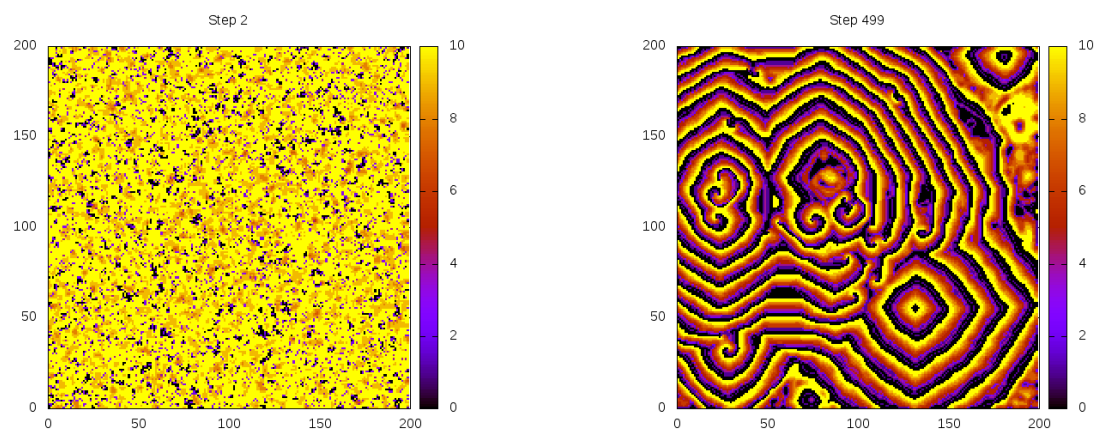
Dla  $n = 1000$  wyniki przedstawione są na Rys. 3. Tutaj większa ilość procesorów daje większy wzrost wydajności, efektywność nie opada tak szybko jak w przypadku poprzednim.

Dla problemu skalowanego wyniki są na Rys. 4. Rozmiar problemu skalowany był w taki sposób, aby zawsze na jeden procesor przypadało ok.  $10^6$  komórek.

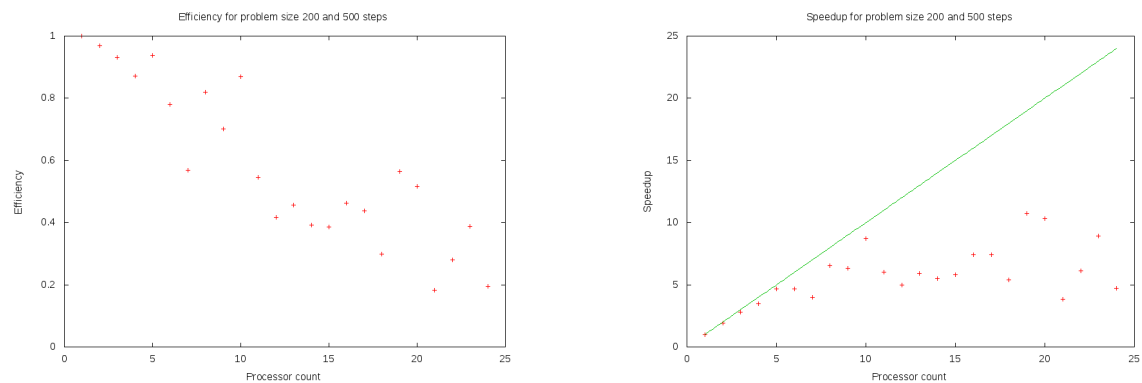
## Literatura

- [1] I. Foster: *Designing and Building Parallel Programs* <http://www.mcs.anl.gov/dbpp/> dostęp 2015.10.14

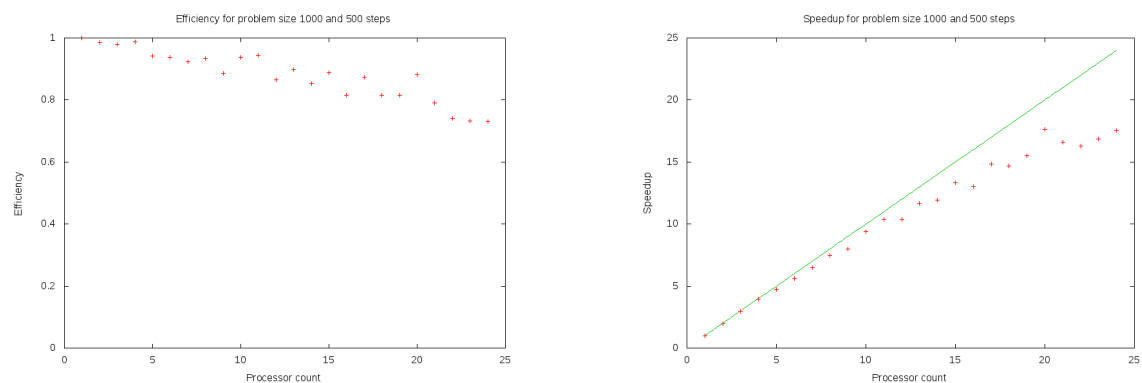
- [2] Hermetic Systems: *Five Cellular Automata: The Belousov-Zhabotinsky Reaction*  
<http://www.hermetic.ch/pca/bz.htm> dostęp 2015.03.04



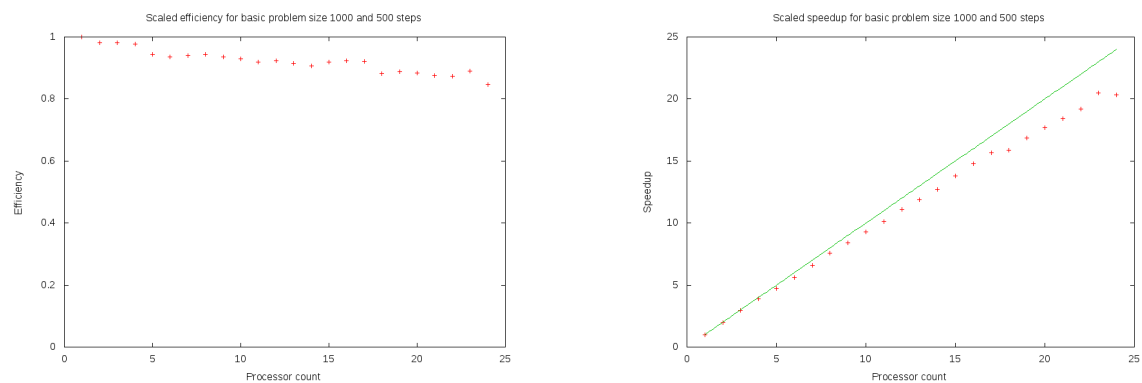
Rys. 1: Wykresy pokazują stan automatu dla 2. i 499. iteracji. Kolorem oznaczony jest stan poszczególnych komórek. Zobaczyć można wykształcenie zorganizowanych struktur z początkowo losowego stanu.



Rys. 2: Wykresy pokazują efektywność oraz przyspieszenie dla problemu wielkości  $n = 200$ .



Rys. 3: Wykresy pokazują efektywność oraz przyspieszenie dla problemu wielkości  $n = 1000$ .



Rys. 4: Wykresy pokazują efektywność oraz przyspieszenie dla skalowanego problemu, ok.  $10^6$  komórek na procesor.